

Автоионная микроскопия урана в режиме непрерывного испарения полем

СУВОРОВ А. Л., КУКАВАДЗЕ Г. М., СКОРОВ Д. М., БОБКОВ А. Ф., КУЗНЕЦОВ Б. Я., КАЛИН Б. А.,
ВОЛКОВ В. Б., ЗАЙЦЕВ С. В.

УДК 535.82:546.791

В работе [1] сообщалось о предварительных результатах автоионно-микроскопического изучения урановых образцов. Было отмечено, что при получении устойчивых изображений определяющим является кинетика процесса испарения полем [2, 3]. Как известно, для одного и того же материала некоторое среднее время \bar{t} пребывания атома в связанном состоянии в поле F ($t = 1/k_i$, где k_i — константа скорости испарения) определяется энергией его связи с поверхностью, т. е. его атомным окружением. Поэтому кинетика испарения полем поверхностных атомов, а также получаемая в результате этого процесса окончательная форма поверхности определяются исходной геометрией поверхности и кристаллической структурой материала. В то же время само испарение полем может проводиться в двух режимах — непрерывном и импульсном; геометрия (в атомных деталях) получаемых при этом поверхностей может существенно различаться. Непрерывное испарение полем осуществляется, когда напряженность поля F на поверхности образца поддерживается постоянной, причем $F \geq F_i$. При импульсном испарении потенциал образца и соответствующая ему напряженность поля испытывают одиночные или периодические кратковременные (несколько микросекунд) пульсации. В результате при подходящем подборе ΔF один импульс приводит к удалению (испарению) с поверхности лишь наиболее слабо связанных атомов. В данном исследовании автоионный микроскоп был использован для изучения непрерывного испарения полем.

Оценка испаряющего поля

Наиболее существенным вопросом теории представляется оценка энергии активации процесса Q_n в поле F . Поскольку энергия активации Q_0 при $F = 0$ определяется из термоионного цикла

$$Q_0 = \Lambda + \sum_n (V_i)_n - n\varphi = \Lambda + I_n - n\varphi \quad (1)$$

(здесь Λ — энергия сублимации; n — заряд испаряемого иона; $(V_i)_n$ — n -й потенциал ионизации; φ — работа выхода), задача сводится

к отысканию наиболее корректного аналитического выражения для $\Delta Q = Q_0 - Q_n$, соответствующего снижению потенциального барьера Q_0 в поле F . Для металлической связи полагаем [4]:

$$\Delta Q = (n^3 e^3 F)^{1/2} - \frac{1}{2} (\alpha_a - \alpha_i) F^2, \quad (2)$$

где e — заряд электрона; α_a и α_i — поляризуемости атома и иона соответственно. Приравняв ΔQ величине Q_0 , т. е. $Q_n = 0$, удалось оценить значения так называемых «испаряющих полей» F_i для большинства материалов [5, 6], а также предсказать наиболее вероятные типы испаряемых ионов. Однако по поводу подобных оценок следует сделать три серьезные оговорки. Во-первых, эти расчеты основаны на весьма дискуссионных теоретических положениях (например, существование вблизи от поверхности металла порога Шоттки, преодолеваемого за счет термической активации [3]). Во-вторых, из-за существующей неопределенности в значениях α_a и α_i для большинства металлов в указанных расчетах не учитываются поляризационные эффекты, т. е. полагается, что $Q_0 = (n^3 e^3 F)^{1/2}$. И, наконец, в-третьих, определенные таким образом значения F_i соответствуют не началу испарения (в отличие от экспериментальных значений), а случаю, когда испарение уже идет с высокой скоростью. Проведенная теоретическая оценка показывает, что соответствующее началу «практического» испарения значение F_i меньше расчетного на 5–8%.

Ранние теоретические оценки испаряющего поля для урана ($n = 1$) дают значения 4,24 [6] и 4,2 в \AA [5]. В табл. 1 приведены значения F_i для четырех типов ионов, оцененные по обычной формуле,

$$F_i \approx \frac{1}{n^3 e^3} (\Lambda + I_n - n\varphi) \quad (3)$$

и для сравнения согласно [3]

$$F_i = \frac{\Lambda + I_n - n\varphi - \frac{3,6 n^3}{r_a}}{n r_a}, \quad (4)$$

где r_a — атомный радиус атомов металла с единственной связью. Как видно из табл. 1, наиболее вероятный тип испаряемых ионов для урана — U^{+2} .

Расчетные значения напряженности испаряющего поля для урана

Таблица 1

n	$I_n, \text{ эв}$ [7,8]	$Q_0, \text{ эв}$	$F_{II}^*, \text{ э/}\text{\AA}$	$F_{II}^{**}, \text{ э/}\text{\AA}$
1	6,19	8,2	4,668	4,036
2	17,79	16,72	2,425	2,288
3	37,59	33,44	2,875	2,429
4	74,29	67,06	5,985	4,608

* — расчет по уравнению (3);

** — расчет по уравнению (4) при $\Lambda = 5,09 \text{ эв}$ [6]; $\varphi = 3,08 \text{ эв}$ [9]; $\tau_a = 1,39 \text{ \AA}$ [10].

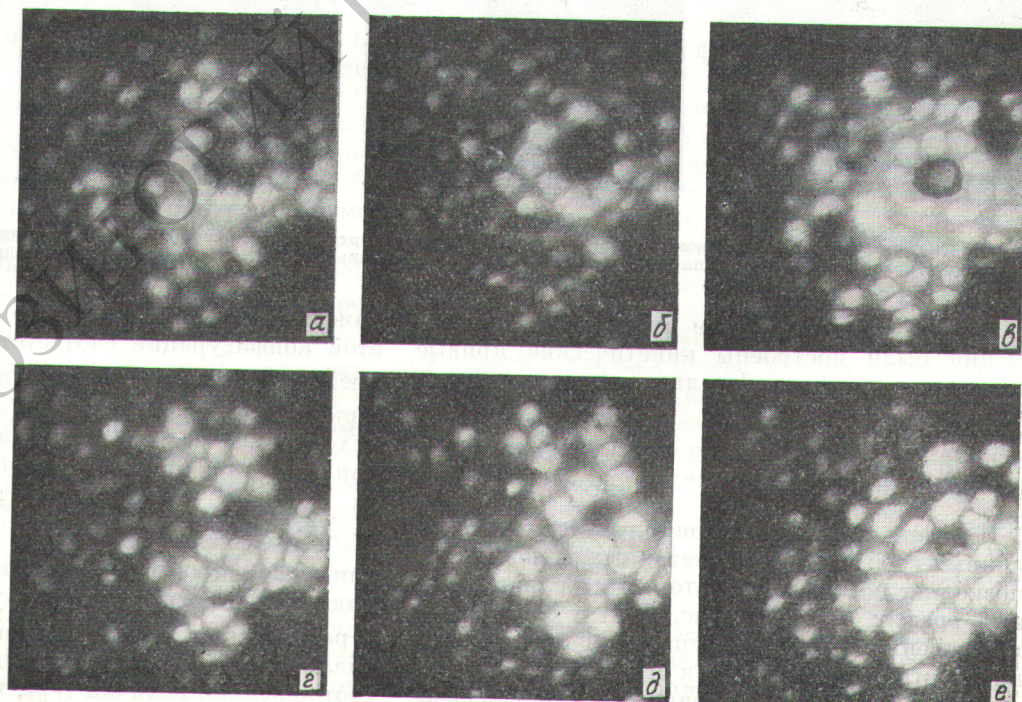
Эксперимент

В качестве образцов использовали остирия, изготовленные по описанному [1] методу из волоченных проволочек природного урана диаметром 0,2 мм. Окончательный отжиг проволоки проведен при температуре $\sim 910^\circ\text{C}$ в течение 3 ч с последующим охлаждением в вакууме со скоростью 4 град/мин. Эксперименты проводили в полуметаллическом разборном анонном микроскопе [11]. Температура образцов во время исследования составляла 78° К. Изучению предшествовал обезгаживающий прогрев остирия в вакууме порядка $5 \cdot 10^{-8} \text{ мм рт. ст.}$. Изображающим газом служил спектрально чистый гелий при давлении $2 \cdot 10^{-3} \text{ мм рт. ст.}$.

Полученные автоионные изображения усиливали с помощью трехкамерного электронно-оптического преобразователя типа УМ-92 [12] и регистрировали кинокамерой РФК-5. Экспозиции составляли 0,5—5,0 сек, время перемотки пленки 50 мсек.

Типичная серия автоионных изображений уранового образца в области одной кристаллической грани, отражающая процесс непрерывного испарения полем, приведена на рис. 1. Изображения получены после неудачной попытки цилировки образца путем испарения полем, приведшей к его разрушению (обрыву) под действием электрического поля огромными механическими напряжениями при $U = 20 \text{ кв.}$

Образовавшаяся поверхность обрыва имела выступ (образование подобных бугорков обсуждалось, например, в работах [13, 14]) с хорошо разрешаемой на автоионном изображении структурой поверхности. Картина (динамика) испарения полем образца в области указанной грани зарегистрирована при пяти значениях потенциала образца U . Причем эти значения U выбирали таким образом, чтобы временные интервалы съемки были значительно меньше времени испарения одной верхней плоскости. Испарение каждой плоскости регистрировали в среднем на 10—40 кадрах; всего проанализировано 550 кадров.



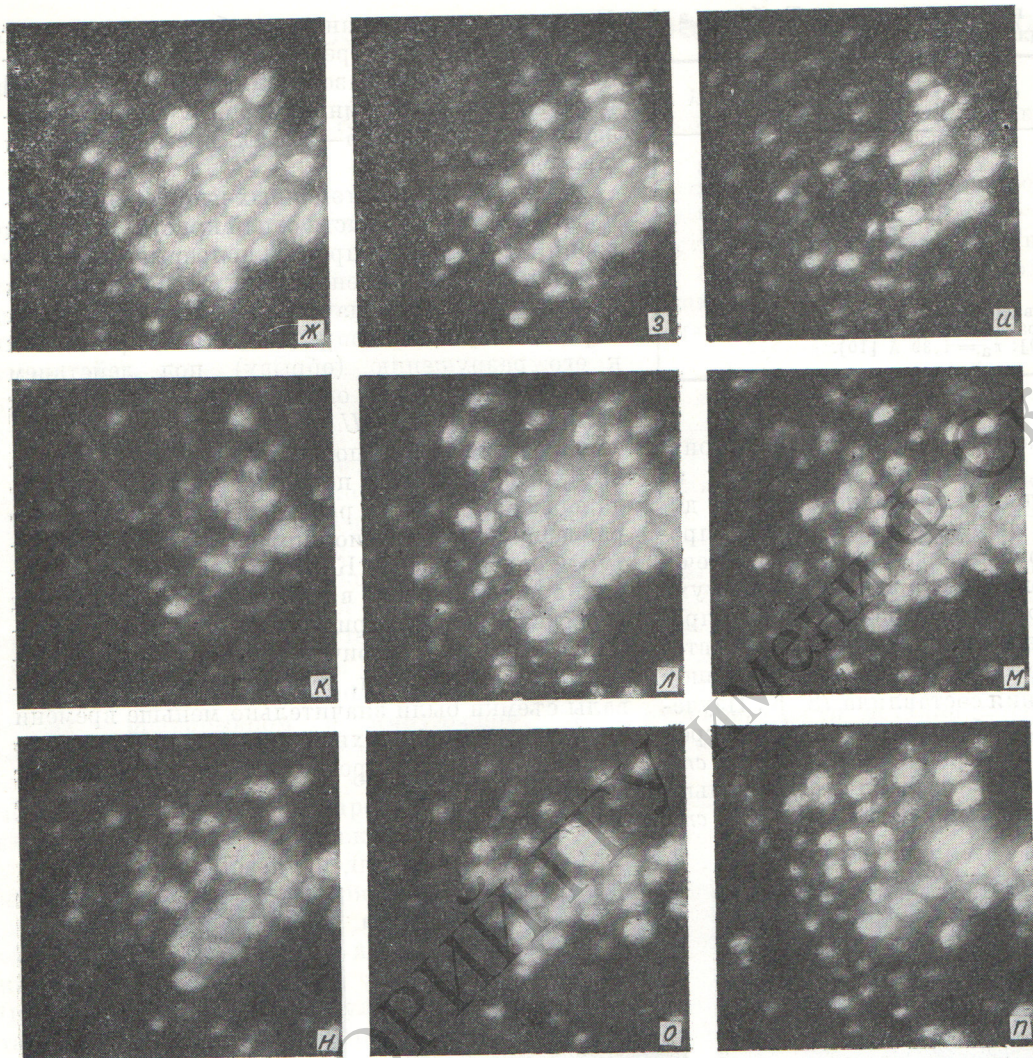


Рис. 1. Серия гелиевых автоионных изображений участка поверхности уранового образца, полученных в процессе непрерывного испарения полем при $U = 21,9 \text{ кВ}$ с временными интервалами 5,0 сек для кадров $a - e$ и 4,0 сек для остальных.

По полученным сериям автоионных изображений были построены кинетические кривые изменения диаметра d кольца одной и той же плоскости (рис. 2).

Кинетика испарения полем

Совместный анализ серий полученных автоионных изображений и указанных зависимостей позволяет построить некоторый идеализированный график $d = f(t)$ (рис. 3, а) и следующую качественную картину испарения полем одной плоскости. Сложившаяся к моменту $t_1 = 0$ относительно стабильная конфигурация атомов изоб-

ражена на рис. 3, б. В поле F каждому атому этой конфигурации соответствует свое среднее время пребывания в связанном состоянии $\bar{t}_{\text{ст}}$. Причем очевидно, что $\bar{t}_{\text{ст}}$ (атомы 1 а, б) для исходной конфигурации минимально. Если, например, оценивать согласно [15] энергию связи атома с поверхностью значением $N_{\text{пр}} = \sum_i k_i N_i$, где N_i — число соседей в i -й координационной сфере, а коэффициенты k_i определяются принятым законом убывания энергии с расстоянием, то соотношение времен $\bar{t}_{\text{ст}}$ для различных атомов будет определяться не только соотношением величин $N_{\text{пр}}$, но и соотношением

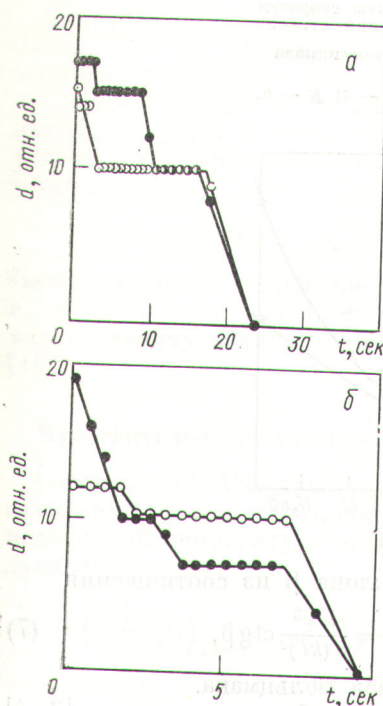


Рис. 2. Типичные временные зависимости диаметра d отображаемого кольцеобразного края непрерывно испаряемой плоскости при $U = 22,5$ и $24,0 \text{ кв}$ (а и б соответственно), построенные для двух взаимно перпендикулярных направлений.

● — ↑; ○ — →;
○ — ↑, →.

локальных значений $F_{\text{л}}$ над атомами. Последнее определяется локальной геометрией поверхности, в частности степенью «выступания» данного атома на поверхности, и в теоретических оценках может быть учтено весьма приближенно. Итак, первыми в момент времени $t_2 \approx t_1 + \bar{t}_{\text{ст}}$ испаряются атомы 1 а, б, причем происходит это не обязательно одновременно (время $\bar{t}_{\text{ст}}$ усреднено, процесс носит вероятностный характер). Испарение атома 1а приводит к изменению для соседних атомов 3а и 3б параметров $F_{\text{л}}$ и $N_{\text{пр}}$; последний параметр существенно изменяется и для более удаленных атомов, если рассматривать больше координационных сфер, т. е. время $\bar{t}_{\text{ст}}$ для них уменьшается. Через время $t \leq \bar{t}_{\text{ст}}$ атомы 3 а, б испаряются. В зависимости от соотношения величин $\bar{t}_{\text{ст}}$ для различных возможных положений испаряются и другие атомы (сначала, по-видимому, атомы 2 а, б, в, г; потом 3 б, в, д, е; затем 4 а, в, г, е и наконец 4 б, д); процесс идет до тех пор, пока не будет «зафиксирована» к моменту времени t_3 новая относительно стабильная конфигурация (на рис. 3, б ей соответствуют заштрихованные, соединенные между собой атомы). Ясно, что среднее время устойчивого «существования» конфигурации и в большей степени время $\Delta t_1 + \Delta t_2$ могут различаться для разных кон-

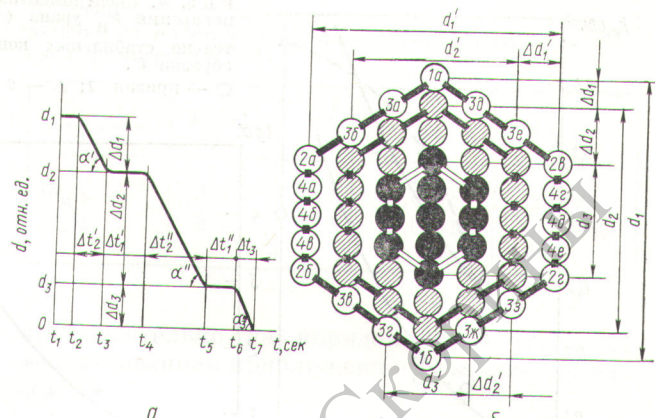


Рис. 3. Кинетика процесса непрерывного испарения полем при $U = \text{const}$:

а — временная зависимость диаметра d отображаемого кольцеобразного края плоскости, б — ее схематическое изображение.

фигураций, уменьшаясь при сокращении их линейных размеров. Наблюдаемый же на практике различный наклон «кривых испарения» (на рис. 3, а — α' , α'' и α''') может быть объяснен как различным типом атомов в разных конфигурациях (при малых размерах исключительно «угловые» атомы с малой связью), так и вероятностью процесса. При обсуждении кинетики испарения следует иметь в виду и возможность непрерывного испарения сразу двух или более кольцеобразных краев (за время $\Delta t_2'$ на рис. 3, а). Основанием для такого утверждения является тот факт, что величина всех измеренных по экспериментальным зависимостям типа рис. 2 спадов (скачков) в диаметрах колец Δd оказалась в пределах ошибки, равной измеренному расстоянию, соответствующему разнице диаметров двух соседних колец — Δd_1 , $\Delta d_1'$ и $\Delta d_2'$ на (рис. 3, б). С помощью рис. 3, б легко объяснить и различие «кратности» указанной разницы в зависимостях рис. 2а, б, соответствующих двум взаимно перпендикулярным направлениям (Δd_2 и $\Delta d_2'$ при переходе от второй к третьей конфигурации на рис. 3, б, которым соответствуют зачерненные атомы).

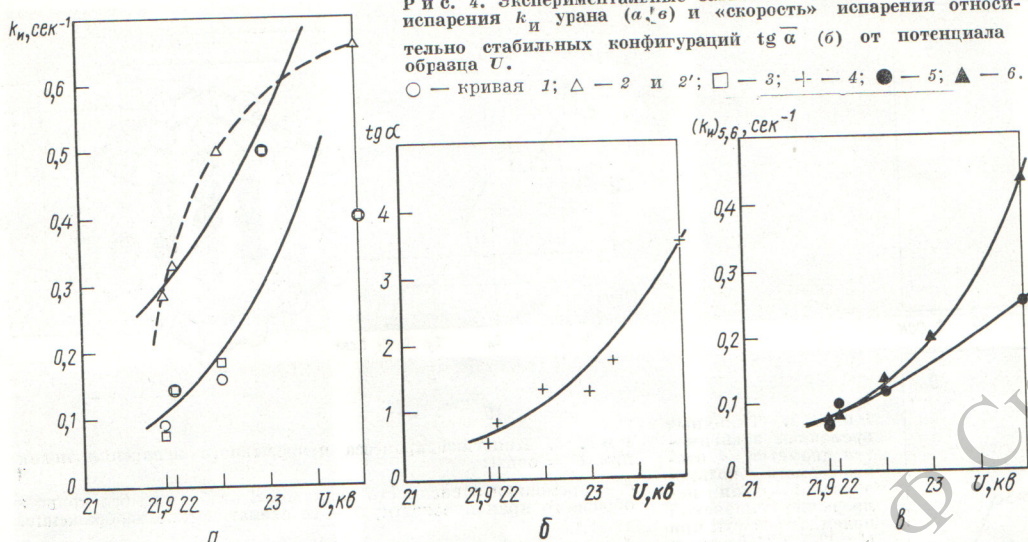
Ввиду указанных особенностей $k_{\text{и}}$ определяли в настоящей работе различными способами

$$\left. \begin{aligned} (k_{\text{i}})_1 &= 1/\bar{\Delta t}_1 & (\text{см. рис. 3, а}); \\ (k_{\text{i}})_2 &= 1/\bar{\Delta t}_2 m, \text{ где } m \text{ — число непрерывно} \\ &\quad \text{испаренных конфигураций}; \\ (k_{\text{i}})_3 &= 1/\bar{\Delta t}_3. \end{aligned} \right\} (5)$$

Зависимости определенных указанным способом $k_{\text{и}}$ от потенциала образца U (и, следовательно, от пропорциональной ему напряжен-

Рис. 4. Экспериментальные зависимости константы скорости испарения k_i урана (a , c) и «скорость» испарения относительно стабильных конфигураций $\text{tg } \alpha$ (b) от потенциала образца U .

○ — кривая 1; △ — 2 и 2'; □ — 3; + — 4; ● — 5; ▲ — 6.



ности поля F) приведены на рис. 4, а. Значения k_i определены из соответствующих временных интервалов Δt (см. рис. 2 и 3, а) по уравнениям (5) — кривые 1, 2, 3 и выражению (6) — кривые 5, 6, причем кривая 6 построена для значений, определенных непосредственно по кривым 1 и 2. Пунктирная кривая 2' соответствует тем же экспериментальным значениям, что и 2, но в ней учтено значение k_i для $U = 24,0$ кв, явно заниженное. Заметим, что с увеличением напряжения на образце точность определения k_i уменьшается. Это вполне естественно, поскольку скорость кинематографической регистрации изображений постоянна. На рис. 4, б приведена подобная зависимость для $\text{tg } \alpha$. Окончательные же значения k_i были определены по формуле

$$(k_i)_{5;6} = \frac{(k_i)_1 (k_i)_2}{(k_i)_1 + (k_i)_2}, \quad \text{т. е. } \Delta t = \overline{\Delta t}_1 + \overline{\Delta t}_2. \quad (6)$$

Для расчета $(k_i)_5$ взяты непосредственно экспериментальные значения, а для расчета $(k_i)_6$ значения уже из «сглаженных» (сплошные линии на рис. 4, а) графиков. Соответствующие им зависимости приведены на рис. 4, в.

Радиус образца и напряженность электрического поля

Несмотря на анализируемого образца не было получено общее разрешенное в атомных деталях автоионное изображение, для определения среднего радиуса образца R_0 двух значений k_i [$(k_i)_5$ и $(k_i)_6$] были построены зависимости $\ln k_i = f(\sqrt{U})$. Согласно существующим представлениям это прямые; R_0 наход-

ится по углу наклона β из соотношения

$$R_0 = \frac{n^3 e^3}{5(kT)^2} \operatorname{ctg} \beta, \quad (7)$$

где k — постоянная Больцмана.

Для учета влияния изображающего газа [3, 4] и главным образом обеспечения достаточно эффективного охлаждения образца температура T в формуле (7) заменена на $T_{\text{пр}}$. Указанное значение получено из данных по испарению полем вольфрамового образца в идентичных условиях. Радиус острия в этом случае определяли числом отображаемых кольцеобразных краев плоскостей между полюсами центральной грани (011) и гранями {112} [6], а соответствующие двум случаям испарения величины F' и F'' эмпирическим соотношением

$$F = U/5R_0. \quad (8)$$

Использованное значение $T_{\text{пр}}$ рассчитывали из уравнения

$$T_{\text{пр}} = \frac{[8e^3(F' - F'')]^{1/2}}{k \ln(k_i'/k_i'')}. \quad (9)$$

Полученные значения R_0 составляют 1520 [расчет по $(k_i)_5$] и 1120 Å [расчет по $(k_i)_6$], а вычисленные по формуле (8) значения F (использованные значения U определены экстраполяцией графиков рис. 4, в) равны соответственно 3,42 и 4,35 e/Å.

Сравнительный анализ результатов, а также учет того факта, что изображения наблюдались в гелии (поле автоионизации $\sim 4,5$ e/Å), позволяет заключить, что испарение урана электрическим полем происходит в виде двухзарядных ионов, а F_i составляет $\sim 4,35$ e/Å.

Сопоставление F_i (U^{+2}) = 2,425 e/Å (см. табл. 1) с оцененным из эксперимента позволяет рассчитать величину $\Delta\alpha = \alpha_a - \alpha_i$. В данном случае $\Delta\alpha = 86,2 \text{ \AA}^3$, что приблизительно на два порядка превышает результат расчета для урана по эмпирическим соотношениям [5]

$$\alpha_i \approx 0,2r_i^{5,5}; \quad \alpha_a \approx (r_a - r_i)r_a^2 \quad (10)$$

(использованное значение ионного радиуса $r_i = 1,2 \text{ \AA}$ заимствовано из работы [5] и учитывает поправку величины, полученной в работе [16]).

Чувствительность процесса

Согласно [17, 18], чувствительность скорости испарения полем к напряженности поля при постоянной температуре можно выразить следующим образом:

$$\xi = \left(\frac{\partial \ln k_i}{\partial \ln F} \right)_{T=\text{const}} \approx \frac{bQ_0}{2kT} + \frac{4}{3} \left(\frac{2M}{\hbar^2} \right)^{1/2} \frac{\Delta_0^{3/2}}{neF}, \quad (11)$$

где \hbar — деленная на 2π постоянная Планка;

$$\Delta_0 = \frac{\hbar^2}{8M \left(\frac{1}{s} + \frac{1}{|s'|} \right)^2 (kT)};$$

M — масса поверхностного атома; s и s' — наклоны (в эВ/Å) боковых сторон треугольника с высотой, равной энергии активации процесса Q_n , которым аппроксимируется преодолеваемый испаряемым атомом потенциальный барьер, а

$$b \approx 1 - \frac{2(\alpha_a - \alpha_i)F^2}{Q_0}, \quad (12)$$

причем при $T > T_{kp}$ ($T_{kp} \sim 70^\circ \text{ К}$) вторым членом уравнения (11) можно пренебречь.

Указанная величина ξ была получена (табл. 2) из соответствующей логарифмической зависимости, построенной для $(k_i)_5$ и $(k_i)_6$ и $n = 2$. Полученные экспериментальные значения позволяют допустить постоянство ξ в анализируемой области напряженностей поля. Отметим, что рассчитанные по уравнению (12) и приведенные в табл. 2 значения $\Delta\alpha = \alpha_a - \alpha_i$ отличаются от реальных значений этой разности

Чувствительность процесса испарения полем и некоторые определяемые ею параметры ($n=2$)

Таблица 2

Исходное значение k_i	$F, \text{ e/Å}$	ξ	b	$\Delta\alpha, \text{ \AA}^3$
$(k_i)_5$	3,015	12,7	0,0102	13,055
$(k_i)_6$	4,1	16,2	0,00324	6,6056

приблизительно на порядок, что объясняется использованием приближенного выражения для Q_n .

В заключение авторы выражают благодарность Ю. Г. Абову за постоянное внимание и интерес к работе.

Поступила в Редакцию 1/IX 1974 г.

СПИСОК ЛИТЕРАТУРЫ

- Суворов А. Л. и др. «Атомная энергия», 1974, т. 36, вып. 4, с. 14.
- Брандон Д. В сб.: Автоионная микроскопия. М., «Мир», 1971, с. 34.
- Мюллер Э. В., Цонь Т. Т. Автоионная микроскопия. М., «Металлургия», 1972, с. 72.
- Gomer R., Swanson L. J. Chem. Phys., 1963, v. 38, p. 1613.
- Brandon D. Surface Sci., 1965, v. 3, p. 1.
- Мюллер Э. В. «Успехи физ. наук», 1962, т. 77, с. 481.
- Емельянов А. М., Ходеев Ю. С., Горохов Л. П. «Теплофизика высоких температур», 1970, т. 8, с. 296.
- Емельянов А. М., Ходеев Ю. С., Горохов Л. П. Там же, с. 508.
- Riviere J. Proc. Phys. Soc., 1962, v. B80, p. 116.
- Barrett C. Structure of metals. N.-Y., McGraw Hill, 1952, p. 646.
- Кузнецов В. А., Кукавадзе Г. М., Суворов А. Л. «Приборы и техника эксперимента», 1969, № 2, с. 152.
- Бутслов М. М., Бобков А. Ф. и др. «Приборы и техника эксперимента», 1971, № 6, с. 137.
- Комар А. П., Шредник В. Н. «Докл. АН СССР», 1962, т. 144, с. 541.
- Суворов А. Л., Бобков А. Ф., Соколов А. Г. В сб.: Структура и свойства монокристаллов тугоплавких металлов. М., «Наука», 1973, с. 63.
- Суворов А. Л. Там же, с. 52.
- Ahrens L. Geochim. et cosmochim. acta, 1952, v. 2, p. 155.
- Brandon D. Philos. Mag., 1966, v. 14, p. 803.
- Tsong T. Surface Sci., 1968, v. 10, p. 102.